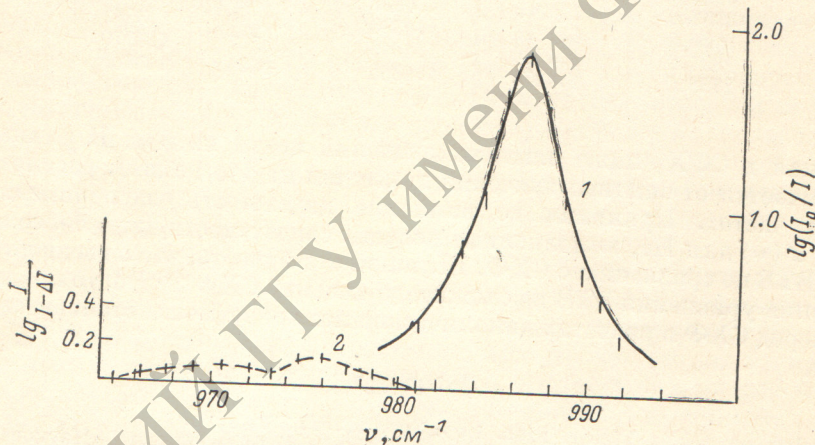


**РЕЛАКСАЦИЯ КОЛЕБАТЕЛЬНОЙ ЭНЕРГИИ
И НЕСТАЦИОНАРНЫЕ СПЕКТРЫ ПОГЛОЩЕНИЯ CD_4 И CD_3F
В КРИОГЕННЫХ РАСТВОРАХ**

K. C. Рутковский и K. Г. Тхадзе

Ранее нами были исследованы процессы колебательной релаксации многоатомных молекул в газовой фазе при низких температурах [1, 2]. Отсутствие такой информации не позволяло до сих пор провести сравнительное изучение колебательной дезактивации в криогенных растворах и газовых смесях в сходных температурных условиях [3, 4], необходимое для выяснения особенностей механизма процессов в жидкости.

В настоящей работе изучена колебательная релаксация в CD_4 ($\sim 6 \cdot 10^{17}$ молек/см³) и CD_3F ($\sim 3 \cdot 10^{17}$ молек/см³), растворенных в Kr и Ar, Kr, Xe соответственно. Результаты измерений сопоставлены с данными низкотемпературных экспериментов для тех же систем в газовой фазе. Измерения проводились в оптическом криостате с кюветой длиной 70 мм методом двойного ИК-резонанса по схеме, аналогичной описанной в [1]. Длительность импульса излучения TEA CO_2



Спектр нестационарного поглощения CD_3F в Ar.
 $T = 90$ К, $n_{CD_3F} = 3.8 \cdot 10^{17}$ молек/см³, ΔI — максимальное изменение амплитуды зондирующего излучения,
1 — полоса поглощения $0 - v_s$, 2 — нестационарное поглощение.

лазера, работавшего на безазотной смеси, не превышала 200 нс, а его энергия при диаметре пучка ~ 8 мм составляла 10–15 мДж.

После колебательного возбуждения молекул (например, линии $P(24) \div P(28)$ перехода 001–020 $C^{13}O_2$ для CD_4 в Kr и R (36)–R (38) перехода 001–100 $C^{12}O_2$ для CD_3F в Ar) с помощью маломощного (<50 мВт) перестраиваемого CO_2 лазера регистрировался нестационарный спектр поглощения (см. рисунок) и измерялось время колебательной релаксации τ . Следует отметить, что в случае CD_3F величина τ заметно уменьшалась при зондировании низкочастотных участков спектра нестационарного поглощения. Например, для CD_3F в Ar на линиях $R(26) \div R(20)$ перехода 001–100 $\tau = 4.4$ мкс, а на линиях $R(12) \div R(6)$ $\tau = 2.2$ мкс. Естественно предположить, что в нестационарный спектр поглощения дают вклад переходы 1–2 и 2–3 нормального колебания v_3 , а соответствующие величины τ^{-1} отвечают скорости дезактивации заселеностей уровней v_3 и $2v_3$ с вероятностями P_{10} и $P_{21} = 2P_{10}$ соответственно.

Результаты измерений и их сравнение с низкотемпературными данными, полученными в газовой фазе, приведены в таблице. Константа скорости дезактивации колебательной энергии $h\nu$ в жидкости k_1 оценивалась по модели [5], согласно которой для молекул с большой величиной колебательного кванта $h\nu \gg kT$ процесс релаксации определяется двухчастичными взаимодействиями,

M	X	T, K	(exp ε/T)	τ, мкс	$k_g, \text{см}^3/\text{с}$	$k_l, \text{см}^3/\text{с}$	k_g/k_l
CD ₄	Kr	130	3.4	1.5 ± 0.3	$1.7 \cdot 10^{-17}$	$7 \cdot 10^{-18}$	2.4
CD ₃ F	Ar	90	12	4.3 ± 0.6	$4.3 \cdot 10^{-17}$	$1.2 \cdot 10^{-18}$	36
CD ₃ F	Kr	130	6.3	2.2 ± 0.3	$4.7 \cdot 10^{-17}$	$5.2 \cdot 10^{-18}$	9
CD ₃ F	Xe	175	6.5	2.6 ± 0.4	$4.0 \cdot 10^{-17}$	$7 \cdot 10^{-18}$	6

а многочастичные взаимодействия лишь изменяют частоту бинарных столкновений

$$k_l = \frac{1}{\tau n g_l}, \quad (1)$$

где n — число частиц X в 1 см³, $g_l = f(n, \sigma)$ — радиальная парная функция распределения для жидкости, состоящей из твердых частиц радиусом σ . В случае разреженного газа для k_g получается аналогичное выражение с $g_g = \exp(\varepsilon/T)$, где ε — глубина минимума потенциала Леннард—Джонса в К. Отметим, что расчеты для жидкости по модели [5] в количественном отношении близки к результатам, следующим из теории изолированных бинарных столкновений в ячейке с движущимися стенками [6].

Из таблицы видно, что если для CD₄ скорость колебательно-поступательного обмена в газовой фазе k_g лишь несколько больше величины k_l , то для CD₃F $k_g \gg k_l$. Такое изменение эффективности процесса можно связать с изменением характера межмолекулярного протенциала и его роли в дезактивации колебательной энергии молекул с достаточно сильными и анизотропными взаимодействиями.

В заключение укажем на результаты первых экспериментов в многокомпонентных криогенных растворах. Так, в системе CD₃F+Ar с добавкой HCl ($0.3-1.5 \cdot 10^{17}$ молек/см³), в которой возможно образование слабой водородной связи CD₃F...HCl [7], обнаружено, что такого рода локальные взаимодействия приводят к значительному ускорению колебательной релаксации. Скорость этого процесса достигает величины $5 \cdot 10^{-12} \text{ с}^{-1} \cdot \text{см}^3$ и находится в соответствии с низкотемпературными измерениями в газовой фазе. Наконец, в криосистеме CD₄ ($\sim 2.5 \cdot 10^{17}$ молек/см³) + CD₃F ($\sim 4 \cdot 10^{17}$ молек/см³) в Kr при колебательном возбуждении CD₄ наблюдалась эффективная передача колебательной энергии от CD₄ к CD₃F. Время релаксации заселенности уровня ν₃ CD₃F при этом составило 1.9 ± 0.3 мкс. Этот факт является еще одним убедительным подтверждением высказанного в [8] предположения о реальности стимулирования лазерным ИК излучением молекулярных процессов в криосистемах.

Литература

- [1] К. С. Рутковский, К. Г. Тохадзе. ЖЭТФ, 75, 408, 1978.
- [2] К. С. Рутковский, К. Г. Тохадзе. Тез. Всес. совещ. люмин., посвящ. 90-летию со дня рождения академика С. И. Бавилова, 82. Л., 1981.
- [3] S. R. J. Brueck, T. F. Deutsch, R. M. Osgood. Chem. Phys. Lett., 51, 339, 1977.
- [4] S. R. J. Brueck, T. F. Deutsch, R. M. Osgood. Chem. Phys. Lett., 60, 242, 1979.
- [5] C. Delalande, G. M. Gale. J. Chem. Phys., 73, 1918, 1980.
- [6] W. M. Madigosky, T. A. Litovitz. J. Chem. Phys., 34, 489, 1961.
- [7] Т. Д. Коломийцова, З. Мильке, К. Г. Тохадзе, Д. Н. Щепкин. Опт. и спектр., 46, 701, 1979.
- [8] В. В. Берцев, М. О. Буланин, А. П. Бурцев. Опт. и спектр., 49, 1203, 1980.

Поступило в Редакцию 19 мая 1981 г.